

حل عددی معادله جابه‌جایی-پراکندگی با لحاظ نواحی نگهداشت موقت در حالت وجود جریان غیر ماندگار در رودخانه‌ها با مقطع نامنظم

مریم براتی مقدم^۱، مهدی مظاہری^{۲*} و جمال محمد ولی سامانی^۳

۱-دانش آموخته کارشناسی ارشد گروه سازه های آبی، دانشکده کشاورزی، دانشگاه تربیت مدرس، تهران.

۲- نویسنده مسئول، استادیار گروه سازه های آبی، دانشکده کشاورزی، دانشگاه تربیت مدرس، تهران. m.mazaheri@modares.ac.ir

۳- استاد گروه سازه های آبی، دانشکده کشاورزی، دانشگاه تربیت مدرس، تهران.

تاریخ پذیرش: ۹۴/۰۷/۱۳

تاریخ دریافت: ۹۴/۱۰/۱۳

چکیده

برای شبیه سازی دقیق تر انتقال آلاینده در رودخانه های طبیعی باید اصلاحاتی در معادله کلاسیک جابه جایی-پراکندگی انجام و عبارت هایی برای لحاظ تأثیر نواحی نگهداشت موقت به آن اضافه شوند. در این تحقیق مدل جدید و جامع با تلفیق الگوهای عددی با درجه دقت بالاتر (روشن کوئیک) برای حل معادله جابه جایی-پراکندگی با لحاظ نواحی نگهداشت موقت در رودخانه ها با مقطع نامنظم تحت رژیم جریان غیر ماندگار ارائه گردیده است. مدل با استفاده از راه حل تحلیلی، مثال فرضی و داده های واقعی مورد صحبت سنجی قرار گرفت و نتایج حاکی از دقت مطلوب مدل در شبیه سازی انتقال آلاینده در شرایط مذکور بود. با اجرای مدل برای حالت جابه جایی خالص و مقایسه نتایج حاصل با نتایج دو الگوی عددی دیگر که از روش مشتق گیری مرکزی برای گسسته سازی مکانی معادله ها استفاده می کردند، توانایی مدل در شبیه سازی دقیق تر این حالت هم نشان داده شد. نتایج نشان داد که مدل ارائه شده، مدلی جامع و کاربردی است و می تواند در بسیاری از مطالعات انتقال ماده حل شده در نهرها و رودخانه های طبیعی جایگزین مدل های فعلی شود.

کلیدواژه ها: معادله جابه جایی-پراکندگی، نگهداشت موقت، حل عددی، جریان غیر ماندگار، الگوی کوئیک (QUICK).

Numerical Solution to Advection-Dispersion Equation with Transient Storage Zones, Considering Unsteady Flow in Irregular Cross Section Rivers

M. Barati Moghaddam¹, M. Mazaheri^{2*}and J. MohammadVali Samani³

1-Msc. Graduate of Water Structures, Faculty of Agriculture, Tarbiat Modares University.

2*- Corresponding Author, Assistant Prof., Department of Water Structures, Faculty of Agriculture, Tarbiat Modares University.

3- Professor, Department of Water Structures, Faculty of Agriculture, Tarbiat Modares University.

Received:23 September 2015

Accepted:3 January 2016

Abstract

For accurate simulation of transport in natural rivers, some revisions have to perform in classical advection dispersion equation and some terms for considering of transient storage zones added to this equation. In this study a new and comprehensive model that merges numerical schemes with higher order accuracy (QUICK scheme) for solution of advection dispersion equation with transient storage zones in rivers with irregular cross sections at unsteady flow regime is presented. The presented method is verified by analytical solution, hypothetical example and two sets of real data. The results of verification implied that presented model have reasonable accuracy in simulation of contaminant transport in this condition. Also with implementation of model in the case of pure advection and comparing the results with two other numerical model results that use from centered difference method in spatial discretization of equations the ability of presented model in more accurate simulation in this case is shown. Results show that presented model in this study, is an applicable model and could be suggested as alternative for common present models at contaminant transport studies in natural rivers and streams.

Keywords: Advection-dispersion equation, Transient storage, Numerical solution, unsteady flow, QUICK.

است. نگهداشت موقت به صورت حرکت مواد حل شده از کanal اصلی با جریان آزاد به داخل نواحی ماندابی، بسی موقتی در این نواحی و متعاقب آن بازگشت مجدد جرم ماده حل شده به کanal اصلی تعریف می‌شود. مدل نگهداشت موقت به صورت کمی اولین بار در سال ۱۹۸۳ ارائه و برای استفاده در نهرهای کوهستانی کوچک توسعه داده شد. این مدل همچنین برای هر نهر یا رودخانه‌ای که بتوان انتقال را در آن یک‌بعدی فرض کرد، قابل به کارگیری است (بنکالا و والترز، ۱۹۸۳).

در پی انجام آزمایش‌های مختلف با استفاده از مواد ریدیاب و شبیه‌سازی انتقال در رودخانه‌ها و نهرهای طبیعی با استفاده از مکانیزم‌های جابه‌جایی و پراکندگی بدون در نظر گرفتن تبادل با ناحیه‌ی نگهداشت مشاهده گردید که نتایج حاصل از معادله کلاسیک جابه‌جایی-پراکندگی تطابق خوبی با داده‌های حاصل از آزمایش ندارد و داده‌های واقعی و نتایج حاصل از شبیه‌سازی دارای ویژگی‌های متفاوتی هستند. از جمله این که داده‌های واقعی کاهش غلظت بیشتر در پایین‌دست و دنباله‌های طولانی‌تری را در نمودار غلظت شان می‌دهند. محققین پس از شبیه‌سازی داده‌ها با در نظر گرفتن نگهداشت موقت تناسب خوبی بین داده‌های حاصل از شبیه‌سازی و داده‌های واقعی، به‌ویژه برای نهرهای کوهستانی کوچک‌تر، جایی که جریان سریع و مقطع جریان نامنظم است، مشاهده کردند.

مروری بر تحقیقات انجام‌شده در حوزه مدل‌سازی انتقال ماده حل شده با لحاظ نواحی نگهداشت موقت، نشان می‌دهد که تابه‌حال یک مدل جامع که مسئله انتقال آلینه را در رودخانه‌ها با مقطع نامنظم تحت رژیم جریان غیر ماندگار و با در نظر گرفتن نگهداشت موقت شبیه‌سازی کند، ارائه نشده و اکثربتقریب به اتفاق مدل‌های ارائه شده دارای محدودیت‌هایی شامل در نظر نگرفتن جریان غیر ماندگار، عدم توانایی در شبیه‌سازی مسئله انتقال ماده حل شده در مقاطع نامنظم، استفاده از الگوهای عددی با درجه دقت پایین و جامع نبودن مدل هستند (سُو و ماکسول، ۱۹۹۲، هارت^۱، ۱۹۹۵، رانکل^۲، ۱۹۹۸، چپرا و رانکل^۳، ۱۹۹۹، دیویس و اتکینسون^۴، ۲۰۰۰، سینگ^۵، ۲۰۰۳، ماریون و زاراملا^۶، ۲۰۰۵).

به عنوان نمونه رانکل (۱۹۹۸)، نسخه‌ی کامل مدل نگهداشت موقت ارائه شده توسط بنکالا و والترز (۱۹۸۳) شامل فرآیندهای فیزیکی و شیمیایی را به عنوان پایه‌ی توسعه‌ی مدل اوتیس^۷ استفاده کرد. با وجود اینکه اوتیس در حال حاضر تقریباً بهترین مدل ریاضی است که برای شبیه‌سازی نگهداشت موقت در نهرهای و رودخانه‌ها در دسترس عموم قرار دارد و مکرراً توسط محققین برای

مقدمه

نهرها و رودخانه‌های طبیعی، به‌ویژه رودخانه‌های کوهستانی، علاوه بر نواحی با جریان آزاد، دارای نواحی هستند که در اصطلاح نواحی نگهداشت^۸ یا نواحی مرده^۹ نامیده می‌شوند. در نواحی نگهداشت آب نسبت به کanal اصلی با سرعت کمتری در جریان است و تبادل بین این نواحی و کanal اصلی به کندی صورت می‌گیرد. وقتی که یک ابر ماده آلینه در چنین نهری حرکت می‌کند، بخشی از جرم ماده آلینه وارد نواحی نگهداشت شده و غلظت ماده حل شده در کanal اصلی ریق می‌شود. بعد از این که ابر ماده آلینه به‌طور کامل از نهر عبور کرد، نواحی نگهداشت به عنوان منبعی از ماده حل شده برای نهر عمل می‌کنند. بدین ترتیب جرمی که موقتاً در این نواحی نگهداشته شده بود، به‌ترتیب به کanal اصلی برگرد و باعث ایجاد یک دنباله پیش‌رونده در پروفیل غلظت مشاهده شده می‌شود. مثال‌هایی از این نواحی شامل؛ نواحی برگشت آب^{۱۰}، جریان‌های ثانویه^{۱۱}، بستر سنگریزه‌ای کanal نهر و موانع جریان مثل پوشش گیاهی و تخته‌سنگ‌ها هستند.

از اواخر دهه ۱۹۶۰، وقتی محققین دریافتند که معادله کلاسیک جابه‌جایی-پراکندگی^{۱۲} پروفیل‌های ماده ریدیاب مشاهده شده را در بسیاری از موارد به خوبی توصیف نمی‌کند، تحقیقات در رابطه با توسعه یک مدل مناسب‌تر برای انتقال ماده حل شده در رودخانه‌های طبیعی آغاز شد (دی^{۱۳}، تیلور^{۱۴}، ۱۹۵۴). این تلاش‌ها سرآغاز فصل جدیدی در مطالعات انتقال ماده حل شده در نهرها و رودخانه‌های طبیعی شد و از اوایل دهه ۱۹۸۰ تحلیل مسائل انتقال ماده حل شده در نهرها و رودخانه‌های طبیعی با لحاظ تأثیر نگهداشت موقت به یکی از حوزه‌های فعال تحقیقات مبدل گردید. محققین بسیاری بر ضرورت در نظر گرفتن تأثیر نواحی نگهداشت موقت بر شبیه‌سازی رفتار رودخانه در مواجهه با ماده‌ی آلینه تأکید کردند و تاکنون روش‌های زیادی هم برای شبیه‌سازی انتقال آلودگی در رودخانه‌های دارای نواحی نگهداشت ارائه شده است که یکی از رایج‌ترین آن‌ها، مدل نگهداشت موقت^{۱۵} می‌باشد (بلتاوس و دی^{۱۶}، ۱۹۷۸، نوردین و ترومن^{۱۷}، ۱۹۸۰، بنکالا و والترز^{۱۸}، ۱۹۸۳، سئو و ماکسول^{۱۹}، ۱۹۹۲، سئو و چونگ^{۲۰}، ۲۰۰۱).

در ساده‌ترین شکل، مدل نگهداشت موقت از معادله یک‌بعدی جابه‌جایی-پراکندگی همراه با یک عبارت اضافی برای به‌حساب آوردن تأثیر نواحی نگهداشت بر انتقال ماده حل شده تشکیل شده

1- Storage zones

2- Dead zones

3- Backwater

4- Eddy

5- Advection Dispersion Equation (ADE)

6- Day

7- Taylor

8- Transient Storage Model (TSM)

9 - Beltaos and Day

10- Nordin and Troutman

11- Bencala and Walters

12- Seo and Maxwell

13 - Seo and Cheong

14-Hart

15- Runkel

16-Chapra and Runkel

17- Davis and Atkinson

18- Singh

19- Marion and Zaramella

20 -One -Dimensional Transport with Inflow and Storage (OTIS)

لازم به ذکر است که مدل ارائه شده در این تحقیق قابلیت شبیه‌سازی مسئله انتقال ماده حل شده در هر دو حالت با در نظر گرفتن و بدون در نظر گرفتن نگهداشت موقعت، تحت هر دوی رژیم‌های جریان ماندگار و غیرماندگار و همچنین توانایی حل مسئله انتقال در رودخانه‌ها با مقطع نامنظم -بدون محدودیت در تعداد مقاطع- را به صورت توانمند دارا می‌باشد که از این نظر نسبت به سایر مدل‌هایی که تاکنون ارائه شده‌اند، منحصر به فرد است.

مواد و روش‌ها

مدل نگهداشت موقعت

نگهداشت موقعت به حبس موقتی ماده حل شده در نواحی ماندابی که نسبت به نواحی مرکزی کانال دارای سرعت کمتری هستند، اطلاق می‌گردد. علاوه بر این بخش‌های قابل توجهی از آب ممکن است، وارد سنگریزه‌ها و ماسه‌های درشت بستر نهر و یا نواحی متخالخ موجود در کناره‌های نهر شوند (رانکل، ۱۹۹۸). زمان انتقال مواد حل شده در این نواحی متخالخ به طور قابل توجهی بیشتر از زمان انتقال مواد حل شده در ستون آب است. مدل، با نوشتن معادله‌های تعادل جرم برای دو ناحیه‌ی فرضی شکل می‌گیرد: کانال اصلی و ناحیه‌ی نگهداشت. کانال اصلی به عنوان بخشی از نهر یا رودخانه که در آن جابه‌جایی و پراکندگی مکانیزم‌های حاکم بر انتقال هستند، تعریف می‌شود. ناحیه‌ی نگهداشت بخشی از نهر است که در نگهداشت موقعت مشارکت دارد (مثل پهنه‌های ماندابی و نواحی متخالخ بستر نهر (شکل ۱)). شکل (۲) نیز فرآیندهای تأثیرگذار بر ماده حل شده در کانال اصلی و ناحیه‌ی نگهداشت را به صورت شماتیک نشان می‌دهد.

در کانال اصلی مواد حل شده توسط جابه‌جایی و پراکندگی به سمت پایین دست انتقال می‌یابند. جابه‌جایی و پراکندگی شامل ناحیه‌ی نگهداشت نمی‌شوند، جایی که انتقال به سمت پایین دست قابل اغماض است. جریان ورودی جانبی نشان‌دهنده‌ی ورود آب اضافی به کانال اصلی به صورت جریان روز مینی، جریان ورودی و تخلیه‌ی آب زیرزمینی است. جریان خروجی جانبی نشان‌دهنده‌ی اتصال اصلی و ناحیه‌ی نگهداشت از طریق فرآیند نگهداشت موقعت به هم مرتبط می‌شوند، تبادل جرم بین کانال اصلی و ناحیه‌ی نگهداشت، به عنوان یک فرآیند انتقال جرم مرتبه اول مدل‌سازی شده است.

تجزیه و تحلیل آزمایش‌های میدانی ماده ردیاب مورد استفاده قرار گرفته است، اما دارای نقایصی است (رانکل، ۳۰۰۰، لوتز و همکاران^۱، ۲۰۰۷، اوکنر و همکاران^۲، ۲۰۰۹، اسزفلت و همکاران^۳، ۲۰۱۱، فاییان و همکاران^۴، ۲۰۱۱، کلر و همکاران^۵، ۲۰۱۳، وارد و همکاران^۶، ۲۰۱۳). به عنوان مثال اوتیس در شبیه‌سازی جریان غیریکنواخت یا غیر ماندگار برای تأمین داده‌های جریان متکی به یک برنامه خارجی روندیابی نهر است و مشخصات جریان باید از یک برنامه روندیابی دیگر در قالب یک فایل متکی وارد مدل شود (لین و مدینا^۷، ۲۰۰۳). همچنین مدل اوتیس برای گسسته‌سازی معادله‌های مدل نگهداشت موقعت از الگوی عددی الگوی مرکزی در زمان و مرکزی در مکان^۸ استفاده می‌کند که در این الگو مشتق‌های مکانی با استفاده از روش مشتق‌گیری مرکزی گسسته می‌شوند. از موارد اشکال این روش این است که در مکان‌هایی که گرادیان غلط ماده‌ای آلاینده زیاد است، نوسانات عددی در حل معادله‌ها مشاهده می‌شود و در مدل‌سازی مسئله ورود حجم ناگهانی غلط به رودخانه (مثل تخلیه ناگهانی فاضلاب) عملکرد خوبی ندارد.

از معایب دیگر اوتیس می‌توان به محدودیت در تعداد پارامترهای ورودی برای مدل‌سازی اشاره کرد. در هنگام اجرای مدل متغیرهای ورودی نباید از تعداد حداقل تعریف‌شده در ساختار برنامه‌نویسی مدل تجاوز کنند. به عنوان نمونه اوتیس در تعداد بازه‌های در نظر گرفته شده در طول رودخانه، تعداد نقاط نمایش نتایج شبیه‌سازی و حداقل تعداد نقاط برای اختصاص دادن مشخصات جریان غیر ماندگار، دارای محدودیت است. برای آگاهی از سایر مشخصات و محدودیت‌های مدل اوتیس می‌توان به مرجع رانکل (۱۹۹۸) مراجعه کرد.

در این تحقیق سعی بر این است که مدلی جامع با تلفیق الگوهای عددی دقیق‌تر برای حل عددی معادله یک بعدی جابه‌جایی - پراکندگی با لحاظ نگهداشت موقعت در حالت وجود جریان غیرماندگار در رودخانه‌ها با مقطع نامنظم ارائه گردد تا نواقص موجود در مدل‌های راجح موجود در زمینه شبیه‌سازی انتقال آلاینده را منتفع سازد. بدین منظور در این تحقیق از روش حجم کترول^۹ و الگوی عددی کوئیک^{۱۰} به دلیل پایداری و خطاهای تقریب کم (دققت از درجه سوم)، در گسسته‌سازی مکانی معادله جابه‌جایی - پراکندگی با لحاظ نواحی نگهداشت موقعت، استفاده شده است (لئونارد، ۱۹۷۹).

1- Lautz *et al.*

2- Lautz and Siegel

3- O'connor *et al.*

4- Szeftel *et al.*

5- Fabian *et al.*

6- Kelleher *et al.*

7- Ward *et al.*

8- Lin and Medina

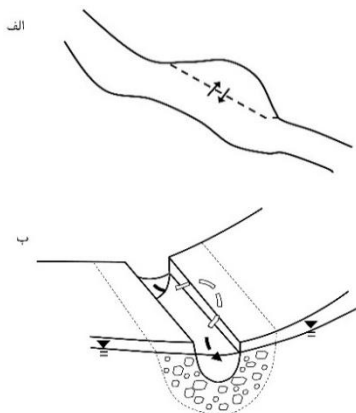
9- Centered Time - Centered Space (CTCS)

10- Control volume

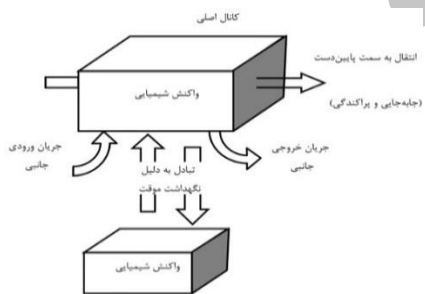
11- Quadratic Upstream Interpolation for Convective Kinematics (QUICK)

12- Leonard

براتی مقدم و همکاران: حل عددی معادله جابه‌جایی-پراکندگی با لحظه...



شکل ۱- مکانیزم‌های نگهداشت موقت. (الف) وقتی که مواد حل شده وارد توده‌های کوچک آب که با سرعت کم حرکت می‌کنند، می‌شوند و (ب) وقتی مواد حل شده کanal اصلی را ترک کرده و وارد نواحی متخلخل بسته و کناره‌های کanal می‌شوند. پیکان‌ها حرکت آب بین کanal اصلی و ناحیه‌ی نگهداشت موقت را نشان می‌دهند (رانکل و بنکالا، ۱۹۹۵)



شکل ۲- مدل فرضی شامل کanal اصلی و ناحیه‌ی نگهداشت (رانکل، ۱۹۹۸)

اصلی، C_L : غلظت ماده‌ی حل شده در جریان ورودی جانبی، C_s : غلظت ماده‌ی حل شده در ناحیه‌ی نگهداشت، D : ضریب پراکندگی طولی، Q : دبی جریان، q_{LIN} : دبی در واحد عرض جریان ورودی جانبی، α : ضریب تبادل ناحیه‌ی نگهداشت، λ : ضریب زوال مرتبه اول کanal اصلی، L : ضریب زوال مرتبه اول ناحیه‌ی نگهداشت، t : زمان و x : مسافت هستند.

حل عددی معادله جابه‌جایی-پراکندگی با لحظه نواحی نگهداشت موقت در حالت یک بعدی حل عددی معادله جابه‌جایی-پراکندگی با لحظه نواحی نگهداشت موقت در این تحقیق بر اساس روش حجم کنترل و الگوی مرکزی در زمان و کوئیک در مکان^۱ انجام می‌گیرد. نام‌گذاری گره‌ها در روش حجم کنترل مورداستفاده در این تحقیق به این صورت است که گره موردنظر که قرار است مجہولات برای آن گره محاسبه شوند، با P نمایش داده می‌شود و نقاط واقع در غرب و شرق این نقطه به ترتیب با W و E نشان داده می‌شوند. سطح کنترل غربی نقطه P با w و سطح کنترل شرقی نقطه P با e مشخص می‌شوند (شکل ۳).

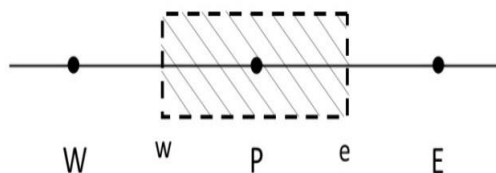
معادله‌های دیفرانسیل حاکم

معادله‌های بسیاری برای لحظه تأثیر نواحی نگهداشت موقت بر انتقال ماده حل شده در نهرها و رودخانه‌های طبیعی ارائه شده‌اند که از بين آن‌ها مدل نگهداشت موقت ارائه شده توسط بنکالا و والرز (۱۹۸۴) به دلیل این که قابلیت در نظر گرفتن رژیم جریان غیرماندگار و مقاطع نامنظم را دارا می‌باشد، در این تحقیق مورداستفاده قرار گرفته است. با نوشتن معادله‌های بقای جرم برای ماده حل شده در کanal اصلی و ناحیه نگهداشت، زوج معادله دیفرانسیل زیر برای کanal اصلی و ناحیه نگهداشت به دست می‌آیند:

$$\frac{\partial (AC)}{\partial t} = -\frac{\partial (QC)}{\partial x} + \frac{\partial}{\partial x} \left(AD \frac{\partial C}{\partial x} \right) + q_{LIN}(C_L - C) + \alpha A(C_s - C) - \lambda AC \quad (1)$$

$$\frac{dC_s}{dt} = \alpha \frac{A}{A_s} (C - C_s) - \lambda_s C_s \quad (2)$$

که A : مساحت مقطع عرضی کanal اصلی، A_s : مساحت مقطع عرضی ناحیه نگهداشت، C : غلظت ماده حل شده در کanal



شکل ۳- نحوه نام‌گذاری گره‌ها در روش حجم کنترل الگوی مرکزی در زمان و کوئیک در مکان (CTQS)

تفاضل مرکزی است، چراکه بر اساس یکی از ویژگی‌های هندسی سهمی، شبی و تر بین دو نقطه در یک سه‌می برابر با تاثرات سهمی در نقطه میانی آن است، یعنی:

$$\left(\frac{\partial \phi}{\partial x} \right)_w = \frac{\phi_p - \phi_w}{\Delta x} \quad (6)$$

$$\left(\frac{\partial \phi}{\partial x} \right)_e = \frac{\phi_e - \phi_p}{\Delta x} \quad (7)$$

بر اساس این الگو صورت گسته شده معادله‌های (۱) و (۲) به صورت معادله‌های (۸) و (۹) درمی‌آیند؛ با جایگزین کردن مقادیر کمیت‌های روی سطح کنترل با استفاده از معادله‌های (۴) تا (۷) و انجام کمی عملیات جبری معادله (۸) را می‌توان به صورت معادله (۱۰) نوشت که ضرایب این معادله، از معادله‌های (۱۱) تا (۱۵) به دست می‌آیند.

اگر تعداد احجام کنترل در کل طول دامنه حل برابر با N باشد، با نوشت معادله (۱۰) برای هر چهار حجم کنترل متوالی با شروع از سومین حجم کنترل تا حجم کنترل $-1 - N$ ام، یک دستگاه معادله‌های با $N - 3$ معادله و N مجھول به دست می‌آید. برای حل این دستگاه سه معادله دیگر موردنیاز است که این معادله‌های با استفاده از شرایط مرزی ابتدا و انتهای به دست می‌آیند. در روش کوئیک مقادیر غلظت در مزهای حجم کنترل با استفاده از مقادیر غلظت در سه نقطه مجاور، دو نقطه بالا دست و یک نقطه پایین دست محاسبه می‌شوند. گره‌های اول، دوم و آخر به دلیل قرارگیری در نزدیکی مرزهای دامنه حل و اعمال شرایط مرزی نیاز به فرمول‌بندی جداگانه دارند. شکل ماتریسی دستگاه معادله‌های خطی تشکیل شده به شکل معادله (۱۶) است. دستگاه معادله‌های (۱۶) به راحتی با استفاده از روش حذفی گوس قابل حل است. با حل این دستگاه مقادیر غلظت در کانال اصلی در سطح زمانی $n+1$ به دست می‌آیند. بعد از محاسبه مقادیر غلظت در کانال اصلی با استفاده از معادله (۱۷) می‌توان مقادیر غلظت ناحیه نگهداشت را برای تمامی احجام کنترل محاسبه کرد:

در الگوی مورداستفاده در این تحقیق، مشتق‌های مکانی با استفاده از الگوی کوئیک و به صورت میانگین سطوح زمانی n و $n+1$ گسته می‌شوند. به منظور مقایسه دو روش عددی دیگر، یعنی الگوی مرکزی در زمان و مرکزی در مکان و الگوی پسرو در زمان و مرکزی در مکان هم ارائه شده‌اند. برای هر سه روش عددی مذکور برنامه کامپیوتري تهیه شده و نتایج در ادامه آورده شده‌اند. لازم به ذکر است که مدل عددی اوتیس برای گسسته‌سازی معادله‌های نگهداشت موقع از الگوی مرکزی در زمان و مرکزی در مکان و نرم‌افزار مایک ۱۱ برای حل معادله کلاسیک جابه‌جایی-پراکندگی از الگوی پسرو در زمان و مرکزی در مکان بهره می‌گیرند.

الگوی کوئیک برای گسسته‌سازی مکانی معادله جابه‌جایی-پراکندگی بر مبنای درون‌بایی بالا دست درجه دوم، توسعه داده شده است (لئونارد، ۱۹۷۹). این روش به خاطر دقت عددی بالا (از درجه سوم) به طور گسترده مورداستفاده قرار گرفته است. در این روش برخلاف روش مرکزی که از یک نقطه در بالا دست و یک نقطه در پایین دست برای تخمین مقادیر مجھول روی سطوح کنترل استفاده می‌شود و برآش هم به صورت خطی است، از دو نقطه در بالا دست و یک نقطه در پایین دست استفاده می‌شود و برآش به صورت یک منحنی درجه دوم (سهمی) است. در روش کوئیک برای محاسبه مقادیر کمیت موردنظر روی سطوح کنترل از معادله‌های زیر استفاده می‌شود:

$$\phi_{face} = \frac{6}{8} \phi_{i-1} + \frac{3}{8} \phi_i - \frac{1}{8} \phi_{i+1} \quad (3)$$

$$if \ u_w > 0: \quad \phi_w = \frac{6}{8} \phi_w + \frac{3}{8} \phi_p - \frac{1}{8} \phi_{ww} \quad (4)$$

$$if \ u_e > 0: \quad \phi_e = \frac{6}{8} \phi_p + \frac{3}{8} \phi_E - \frac{1}{8} \phi_w \quad (5)$$

عبارت‌های پراکندگی هم با استفاده از مشتق سهمی تقریب زده شده، محاسبه می‌شوند. نکته جالب توجه این است که در یک شبکه یکنواخت با احجام کنترل یکسان، عبارت‌های به دست آمده از این روش برای پراکندگی، مشابه عبارت‌های به دست آمده از روش

براتی مقدم و همکاران: حل عددی معادله جابه‌جایی-پراکندگی بالحظا...

$$\begin{aligned}
 R_p = & \frac{C_p^n}{\Delta t} + \left[\frac{\mathcal{Q}_p^n}{2\Delta x A_p^n} \left(\frac{3}{8} C_p^n + \frac{3}{8} C_E^n - \frac{7}{8} C_W^n + \frac{1}{8} C_{WW}^n \right) \right] + \\
 & \frac{(A_p^n + A_E^n)(D_p^n + D_E^n)(C_E^n - C_p^n)}{8\Delta x^2 A_p^n} - \\
 & \frac{(A_p^n + A_W^n)(D_p^n + D_W^n)(C_p^n - C_W^n)}{8\Delta x^2 A_p^n} + \\
 & \frac{q_{LN}^{n+1}}{2A_p^{n+1}} C_L^{n+1} + \frac{q_{LN}^n}{2A_p^n} (C_L^n - C_P^n) + \\
 & \frac{\alpha}{2} C_S^{n+1} + \frac{\alpha}{2} (C_S^n - C_P^n) - \frac{\lambda}{2} C_P^n
 \end{aligned} \quad (15)$$

$$\begin{bmatrix} a_p & a_E \\ a_W & a_p & a_E \\ a_{WW} & a_w & a_p & a_E \\ a_{WW} & a_w & a_p & a_E \\ \vdots & \vdots & \vdots & \vdots \\ \vdots & \vdots & \vdots & \vdots \\ a_{WW} & a_w & a_p & a_E \\ a_{WW} & a_w & a_p & a_E \end{bmatrix} \begin{bmatrix} C_1 \\ C_2 \\ C_3 \\ C_4 \\ \vdots \\ \vdots \\ C_{N-1} \\ C_N \end{bmatrix} = \begin{bmatrix} R_1 \\ R_2 \\ R_3 \\ R_4 \\ \vdots \\ \vdots \\ R_{N-1} \\ R_N \end{bmatrix} \quad (16)$$

$$\begin{aligned}
 \frac{C_p^{n+1} - C_p^n}{\Delta t} = & \frac{1}{2} \left[\left(\frac{-\mathcal{Q}_p}{A_p \Delta x} (C_e - C_w) \right)^{n+1} + \left(\frac{-\mathcal{Q}_p}{A_p \Delta x} (C_e - C_w) \right)^n \right] + \\
 & \frac{1}{2} \left\{ \begin{aligned} & \frac{1}{A_p^{n+1} \Delta x} \left[\left(AD \frac{\partial C}{\partial x} \right)_e - \left(AD \frac{\partial C}{\partial x} \right)_w \right]^{n+1} + \\ & \frac{1}{A_p^n \Delta x} \left[\left(AD \frac{\partial C}{\partial x} \right)_e - \left(AD \frac{\partial C}{\partial x} \right)_w \right]^n \end{aligned} \right\} + \\
 & \frac{1}{2} \left[\frac{q_{LN}^{n+1}}{A_p^{n+1}} (C_L - C_P)^{n+1} + \frac{q_{LN}^n}{A_p^n} (C_L - C_P)^n \right] + \\
 & \frac{\alpha}{2} [(C_S - C_P)^{n+1} + (C_S - C_P)^n] - \frac{\lambda}{2} (C_P^{n+1} + C_P^n)
 \end{aligned} \quad (17)$$

$$\frac{C_S^{n+1} - C_S^n}{\Delta t} = \frac{1}{2} \left[\begin{aligned} & \left(\alpha \frac{A_p}{A_S} (C_P - C_S) - \lambda_S C_S \right)^{n+1} + \\ & \left(\alpha \frac{A_p}{A_S} (C_P - C_S) - \lambda_S C_S \right)^n \end{aligned} \right] \quad (18)$$

$$C_S^{n+1} = \frac{\gamma_p^{n+1} C_p^{n+1} + \gamma_p^n C_p^n + (2 - \Delta t \lambda_S - \gamma_p^n) C_S^n}{2 + \gamma_p^{n+1} + \Delta t \lambda_S} \quad a_{WW} C_{WW}^{n+1} + a_W C_W^{n+1} + a_p C_P^{n+1} + a_E C_E^{n+1} = R_p \quad (19)$$

$$\gamma = \frac{\alpha \Delta t A}{A_S} \quad (17)$$

عدد دمکوهلر^۱

به منظور حصول اطمینان از این که مکانیزم نگهداشت در مورد مثال‌های فرضی طراحی شده اتفاق بیافتد، از معیاری به نام عدد دمکوهلر (DaI) استفاده شد. این معیار عدد بی‌بعدی است که نرخ‌های تبادل بین کanal اصلی و نواحی نگهداشت را نشان می‌دهد (وگنر و هاروی^۲، ۱۹۹۷، هاروی و وگنر، ۲۰۰۰، اسکات و همکاران^۳، ۲۰۰۳، چین و همکاران^۴، ۲۰۰۹). برای رودخانه یا کanalی به طول L، عدد دمکوهلر به صورت زیر تعریف می‌شود:

$$DaI = \frac{\alpha \left(1 + \frac{A}{A_s} \right) L}{u} \quad (18)$$

در این رابطه u: سرعت متوسط در رودخانه یا کanal است.

1- Damköhler Number or Damköhler Index (DaI)

2- Wagner and Harvey

3- Scott *et al.*

4- Jin *et al.*

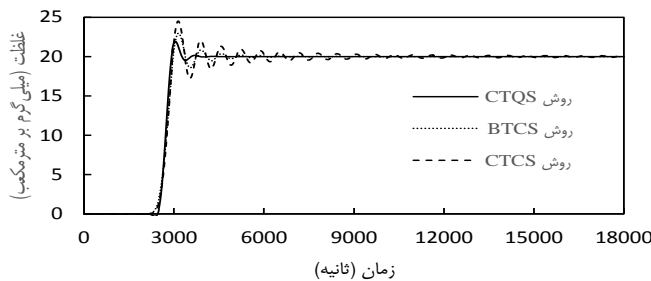
$$a_w = - \left[\left(\frac{7\mathcal{Q}_p^{n+1}}{16\Delta x A_p^{n+1}} \right) + \left(\frac{(A_p^{n+1} + A_W^{n+1})(D_p^{n+1} + D_W^{n+1})}{8\Delta x^2 A_p^{n+1}} \right) \right] \quad (19)$$

$$\begin{aligned}
 a_p = & \frac{1}{\Delta t} + \frac{3\mathcal{Q}_p^{n+1}}{16\Delta x A_p^{n+1}} + \\
 & \frac{(A_p^{n+1} + A_E^{n+1})(D_p^{n+1} + D_E^{n+1}) + (A_p^{n+1} + A_W^{n+1})(D_p^{n+1} + D_W^{n+1})}{8\Delta x^2 A_p^{n+1}} + \\
 & \frac{q_{LN}^{n+1}}{2A_p^{n+1}} + \frac{\alpha}{2} + \frac{\lambda}{2}
 \end{aligned} \quad (19)$$

$$a_E = \frac{3\mathcal{Q}_p^{n+1}}{16\Delta x A_p^{n+1}} - \frac{(A_p^{n+1} + A_E^{n+1})(D_p^{n+1} + D_E^{n+1})}{8\Delta x^2 A_p^{n+1}} \quad (19)$$

جدول ۱- مشخصات مثال فرضی برای اجرای مدل در حالت جابه‌جایی خالص

پارامتر	(کیلومتر)	طول کanal	دبی جریان (مترمکعب بر ثانیه)	مساحت مقطع عرضی (مترمربع)	غاظت ورودی (مترمکعب)	غاظت اولیه
	۱۰	۱۰	۱۰	۱۰	۲۰	۰



شکل ۴- مقایسه نتایج حاصل از سه الگوی عددی مرکزی در زمان و کوئیک در مکان، الگوی پرسو در زمان و مرکزی در مکان برای یک شبکه 1800×1000 در حالت جابه‌جایی

الگوی پرسو در زمان و مرکزی در مکان در مورد این مثال اجرا و نتایج در قالب نمودارهای غلظت در برابر زمان با هم مقایسه گردیدند. جدول (۱) مشخصات این مثال فرضی را نشان می‌دهد. مدت زمان کل شبیه‌سازی پنج ساعت، گام مکانی ۱۰۰ متر و گام زمانی ۱۰ ثانیه در نظر گرفته شده‌اند. لازم به ذکر است که به دلیل این که در اینجا جابه‌جایی تنها فرآیند مؤثر در انتقال ماده حل شده در نظر گرفته می‌شود، از تأثیر فرآیندهای پراکنده و نگهداشت موقت صرف نظر شده است.

با توجه به شکل‌های (۴) تا (۶) مشخص می‌شود که الگوی عددی مرکزی در زمان و کوئیک در مکان در حالت جابه‌جایی خالص نوسان خیلی کمی دارد، اما دو الگوی عددی دیگر دارای نوسان نسبتاً زیادی هستند. لذا می‌توان گفت مدل عددی ارائه شده در این تحقیق در مواردی که جابه‌جایی فرآیند غالب در انتقال ماده حل شده است، نسبت به دو الگوی عددی دیگر دارای عملکرد بهتری است. به طور مشخص تر همان‌طور که شکل (۵) نشان می‌دهد، نتایج بدست آمده با استفاده از الگوی عددی الگوی مرکزی در زمان و مرکزی در مکان، که در مدل عددی اوپیس هم مورداستفاده قرار گرفته است، برای حالت جابه‌جایی خالص نوسان خیلی زیادی دارد، در حالی که نتایج حاصل از الگوی عددی مرکزی در زمان و کوئیک در مکان دارای نوسان بسیار کم و پایداری عددی بالاتری است.

نکته جالب توجه این است، که در رودخانه‌های کوهستانی که مکانیزم نگهداشت موقت بیشتر در این نوع از رودخانه‌ها مشاهده می‌شود، به دلیل شب نسبتاً زیاد مسیر، سرعت جریان نسبت به رودخانه‌های جاری در دشت بیشتر است و لذا فرآیند جابه‌جایی در انتقال ماده حل شده غالب است. بنابراین این نتایج به‌نوعی تأیید کننده برتری مدل عددی ارائه شده در این تحقیق در شبیه‌سازی انتقال ماده حل شده در این نوع از رودخانه‌ها با لحاظ نگهداشت موقت نسبت به سایر مدل‌های رایج در زمینه شبیه‌سازی انتقال ماده حل شده است.

وقتی عدد دمکوه‌لر خیلی بزرگ‌تر از یک است، برای مثال ۱۰۰، تبادل بین کanal اصلی و ناحیه نگهداشت به قدری سریع است که می‌توان فرض کرد این دو جزء در تعادل هستند. وقتی عدد دمکوه‌لر خیلی کوچک‌تر از یک است، مثلاً ۰/۰۰۱، تبادل بین کanal اصلی و ناحیه نگهداشت بسیار کم و قابل صرفنظر کردن است، به عبارت دیگر می‌توان گفت که در این چنین نهری که عدد دمکوه‌لر خیلی کمی دارد، عملاً تبادل بین کanal اصلی و ناحیه نگهداشت اتفاق نمی‌افتد و درنتیجه مکانیزم نگهداشت موقع جزو مکانیزم‌های فیزیکی دخیل در انتقال آلاینده به سمت پایین دست به شمار نمی‌اید. به منظور تخمینی قابل اتکا از پارامترهای مدل نگهداشت موقع، نشان داده شده است که مقدار عدد دمکوه‌لر باید بین ۰/۱ تا ۰/۰۱ باشد (وگنر و هاروی، ۱۹۹۷، فرنالد و همکاران، ۲۰۰۱، راماسومی و همکاران، ۲۰۰۵، ۲۰۰۵).

نتایج و بحث

اجرای مدل در حالت جابه‌جایی خالص

همان‌طور که محققین بسیاری هم اشاره کرده‌اند، روش مشتق‌گیری مکانی مرکزی، در شبیه‌سازی حالت جابه‌جایی خالص^۱ ناتوان است و عملکرد خوبی ندارد (ازانگ و آرال، ۲۰۰۴، شمکیویچ، ۲۰۱۰)، اما روش مشتق‌گیری مکانی کوئیک در این مورد بسیار بهتر از روش مرکزی عمل می‌کند (لئونارد، ۱۹۷۹، نئومن و همکاران، ۲۰۱۱ و برتولوتو و همکاران، ۲۰۱۱).

به منظور نشان دادن این وجهه از برتری روش کوئیک، یک مثال فرضی طراحی شد و سه الگوی عددی مرکزی در زمان و کوئیک در مکان، الگوی مرکزی در زمان و مرکزی در مکان و

1- Fernald *et al.*

2- Ramaswami *et al.*

3-Pure advection

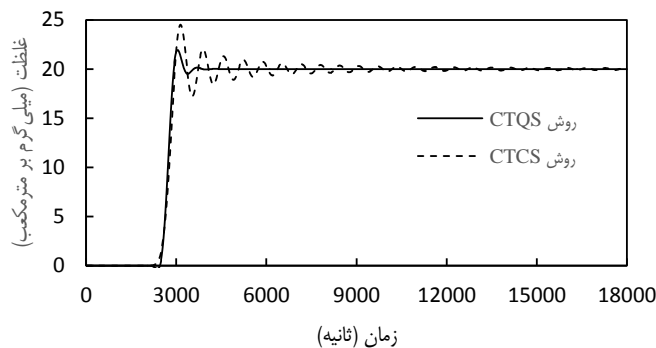
4- Zhang and Aral

5- Szymkiewicz

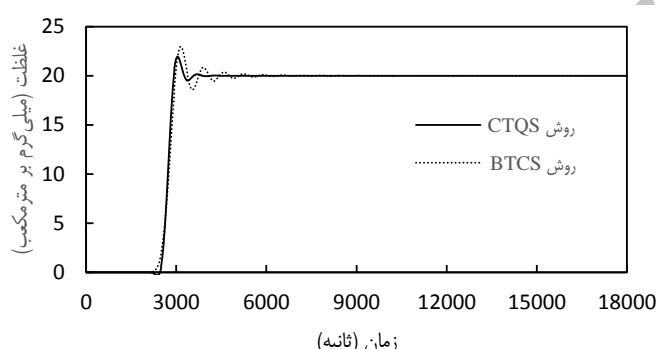
6- Neumann *et al.*

7- Bertolotto *et al.*

براتی مقدم و همکاران: حل عددی معادله جابه‌جایی-پراکندگی بالحظا...



شکل ۵- مقایسه نتایج حاصل از دو الگوی عددی مرکزی در زمان و کوئیک در مکان و الگوی مرکزی در زمان و مرکزی در مکان برای یک شبکه 1800×1000 در حالت جابه‌جایی خالص



شکل ۶- مقایسه نتایج حاصل از دو الگوی عددی مرکزی در زمان و کوئیک در مکان و الگوی پسو در زمان و مرکزی در مکان برای یک شبکه 1800×1000 در حالت جابه‌جایی خالص

جدول ۲- مشخصات مثال‌های فرضی به کار گرفته شده برای صحت‌سنجی مدل

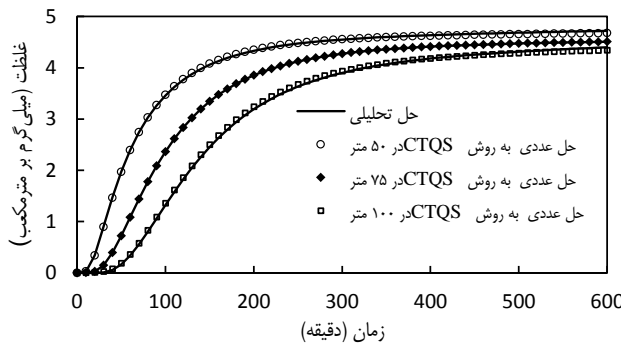
مثال	نحوه صحت‌سنجی	طول کanal / رودخانه	شرط مرزی بالا دست ماده آلاینده	شکل مقطع	شرط جریان
اول	حل تحلیلی	۲۰۰ متر	پیوسته با غلظت ورودی پنج میلی‌گرم بر مترمکعب	منظم با سطح مقطع ثابت	ماندگار
دوم	حل تحلیلی	۲۰۰ متر	هویساید با مدت زمان محدود ۱۰۰ دقیقه و غلظت ورودی پنج میلی‌گرم بر مترمکعب	منظم با سطح مقطع ثابت	ماندگار

جدول ۳- بخشی از مشخصات داده‌های واقعی مورد استفاده در صحت‌سنجی مدل

نام آزمایش	محل انجام آزمایش	طول بازه در نظر گرفته شده از رودخانه	ماده ردیاب	شرط مرزی بالا دست ماده آلاینده
یواس کریک	آمریکا- کالیفرنیا	۶۶۹ متر	کلارايد	پالسی شکل به مدت زمان ۳ ساعت
آتاباسکا	کانادا- آبرتا	۸/۳ کیلومتر	رودامین	نامنظم به مدت زمان ۷۵/۰ ساعت

جدول ۴- مشخصات مثال فرضی طراحی شده برای صحت‌سنجی مدل با استفاده از راه حل تحلیلی

پارامتر	طول (متر)	دبي جريان (مترمربع بر ثانية)	مساحت مقطع عرضي ناحيه	ضريب تبادل با ناحيه نگهداشت ضريب پراکندگی (مترمربع بر ثانية)	کanal اصلی (مترمربع)	نگهداشت (مترمربع)
.۰/۲	.۰/۰۱	.۰/۰۰۰۲	۱	۱	۱	



شکل ۷- نتایج حاصل از صحبت‌سنجی مدل با استفاده از حل تحلیلی برای حالت شرط مرزی بالادست پیوسته، در فواصل ۵۰، ۷۵ و ۱۰۰ متری از بالادست

به صورت پیوسته برای مدت زمان ۱۰ ساعت تزریق شد. مدت زمان کل شبیه‌سازی ۱۰ ساعت، گام زمانی محاسبات ۳۰ ثانیه و گام مکانی ۱ متر در نظر گرفته شدند. شکل (۷) نتایج حاصل از اجرای مدل برای این مثال فرضی و راه حل تحلیلی را در فواصل ۵۰، ۷۵ و ۱۰۰ متری از بالادست نشان می‌دهد. شاخص‌های خطای برای شرط مرزی بالادست پیوسته در جدول (۵) آورده شده‌اند. با توجه به شکل (۷) و شاخص‌های خطای ارائه شده در جدول (۵) مشخص می‌شود که روند نتایج حاصل از مدل سازی و حل تحلیلی در حالت با نگهداشت یکسان است و مدل ارائه شده در شبیه‌سازی مثال فرضی در نظر گرفته شده دارای دقت قابل قبولی است.

همان‌طور که قبلاً هم گفته شد مدل ارائه شده در این تحقیق قابلیت شبیه‌سازی مسئله انتقال را در هر دو حالت با در نظر گرفتن و بدون در نظر گرفتن نگهداشت دارا می‌باشد؛ بنابراین به منظور نشان دادن قابلیت‌های مدل و بررسی صحت و درستی جواب‌ها در حالت بدون در نظر گرفتن نگهداشت، مدل برای همین مثال با قرار دادن $\alpha = 0$ اجرا شد و نتایج حاصل از اجرای مدل با نتایج حاصل از راه حل تحلیلی معادله کالاسیک جابه‌جایی-پراکندگی مقایسه گردیدند.

به عنوان نمونه نتایج برای فاصله ۱۰۰ متری از بالادست در قالب نمودار مقایسه‌ای در هر دو حالت با در نظر گرفتن و بدون در نظر گرفتن نگهداشت موقت در شکل (۸) آورده شده‌اند. جدول (۶) هم شاخص‌های خطای را برای شرط مرز پیوسته در دو حالت با در نظر گرفتن و بدون در نظر گرفتن نگهداشت موقت نشان می‌دهد. با توجه به شکل (۸) هم می‌توان گفت نتایج حاصل از اجرای مدل در هر دو حالت با در نظر گرفتن نزدیک به پاسخ‌های حل تحلیلی است. نگهداشت بسیار نزدیک به پاسخ‌های حل تحلیلی است.

شاخص‌های خطای ارائه شده در جدول (۶) هم مؤید این مطلب هستند. شکل (۸) همچنین نشان می‌دهد که در حالت در نظر گرفتن نگهداشت موقت، نمودارهای غلظت در برابر زمان نسبت به حالتی که نگهداشت موقت در نظر گرفته نمی‌شود ($\alpha = 0$) دارای اوج پایین‌تری هستند که این امر با مفهوم نگهداشت موقت که قبلاً ذکر شد همخوانی دارد.

صحبت‌سنجی مدل

صحبت‌سنجی مدل ارائه شده با استفاده از راه حل تحلیلی معادله جابه‌جایی-پراکندگی با لحاظ نگهداشت موقت در دو حالت شرط مرزی بالادست پیوسته و شرط مرزی بالادست هویسايد و دو سری داده واقعی انجام شد. در مورد سری اول داده‌های واقعی متغیرهای مدل جریان به صورت اندازه‌گیری شده موجود است، بنابراین نیازی به اجرای مدل جریان نیست؛ اما در مورد سری دوم داده‌های واقعی مختصات مقاطع عرضی رودخانه به صورت نقاطی با مختصات (x, z) و شرایط مرزی بالادست و پایین دست مدل جریان به صورت اندازه‌گیری شده موجود هستند، بنابراین برای این سری از داده‌ها مدل جریان هم اجرا می‌شود. مشخصات مثال‌های فرضی و داده‌های واقعی به کاررفته در این تحقیق به منظور صحبت‌سنجی مدل به ترتیب در جدول‌های (۲) و (۳) آورده شده‌اند.

صحبت‌سنجی با استفاده از راه حل تحلیلی

دقت الگوریتم‌های عددی جدید را می‌توان با استفاده از راه حل‌های تحلیلی مورد آزمون قرار داد. صحبت‌سنجی مدل عددی با استفاده از راه حل تحلیلی که توسط کازیلماز الهان^۱ در سال (۲۰۰۸) ارائه گردیده، انجام شده است. وی راه حل‌های تحلیلی را برای مدل نگهداشت موقت ارائه شده توسط بنکالا و والترز (۱۹۸۳)، با لایپلاس‌گیری از معادله‌های مدل نگهداشت موقت، با فرض ثابت بودن سرعت جریان، مساحت مقطع عرضی کanal و ضریب پراکندگی طولی و همچنین بدون در نظر گرفتن جریان‌های ورودی جانبی و عبارت‌های مربوط به زوال مرتبه اول در کanal اصلی و ناحیه نگهداشت، برای حالت‌های تزریق پیوسته و محدود ماده ردیاب استخراج کرد. مشخصات مثال فرضی طراحی

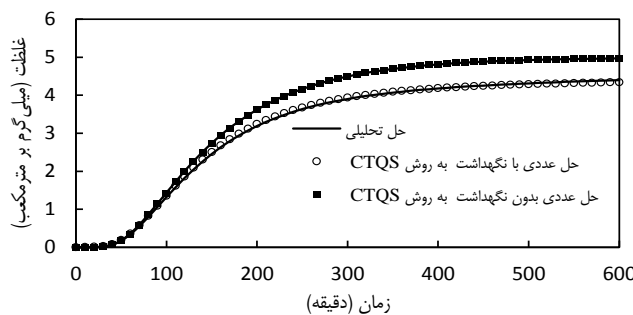
در جدول (۴) نشان داده شده است. برای مثال فرضی مقدار عدد بی بعد عدد دمکوه‌های برابر با $8/0$ به دست می‌آید که در محدوده قابل قبول است.

شرط مرزی بالادست: پیوسته
در این حالت، ماده حل شده با غلظت پنج میلی‌گرم بر مترمکعب

براتی مقدم و همکاران: حل عددی معادله جابه‌جایی-پراکندگی بالا دست...
...

جدول ۵- شاخص‌های خطابای شرط مرزی بالا دست پیوسته

فاصله از بالا دست			شاخص
۱۰۰ متر	۷۵ متر	۵۰ متر	مجذور ضریب همیستگی (درصد)
۹۹/۹۶	۹۹/۹۶	۹۹/۹۷	جذر میانگین مریع خطابای (میلی گرم بر مترمکعب)
.۰/۰۳۲۶	.۰/۰۲۶	.۰/۰۲۱	میانگین خطابای مطلق (میلی گرم بر مترمکعب)
.۰/۰۲۹	.۰/۰۲۲۷	.۰/۰۱۶۸	میانگین خطابای نسبی (درصد)
۱/۲	.۰/۷۸	.۰/۰۴۵	



شکل ۸- نتایج حاصل از صحبت سنجی مدل با استفاده از حل تحلیلی برای شرط مرزی بالا دست پیوسته، در دو حالت با در نظر گرفتن و بدون در نظر گرفتن نگهداشت موقت، در فاصله ۱۰۰ متری از بالا دست

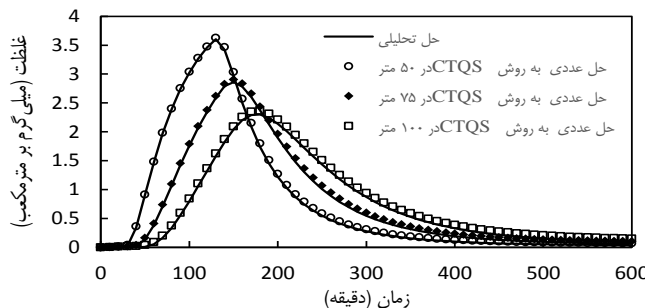
جدول ۶- شاخص‌های خطابای شرط مرزی بالا دست پیوسته در دو حالت با در نظر گرفتن و بدون در نظر گرفتن نگهداشت موقت

فاصله از بالا دست ۱۰۰ متر		شاخص
بدون نگهداشت	با نگهداشت	مجذور ضریب همیستگی (درصد)
۹۹/۹۹	۹۹/۹۶	جذر میانگین مریع خطابای (میلی گرم بر مترمکعب)
.۰/۰۰۹۳	.۰/۰۳۲۶	میانگین خطابای مطلق (میلی گرم بر مترمکعب)
.۰/۰۰۶۵	.۰/۰۲۹	میانگین خطابای نسبی (درصد)
.۰/۶۴	۱/۲	

نتایج برای فاصله ۱۰۰ متری از بالا دست در قالب نمودار مقایسه‌ای در شکل (۱۰) آورده شده‌اند. شاخص‌های خطابای هر دو حالت با در نظر گرفتن و بدون در نظر گرفتن نگهداشت موقت هم در جدول (۸) آورده شده‌اند. با توجه به شکل (۱۰) مشخص است که نتایج حاصل از اجرای مدل در هر دو حالت تطابق قابل قبولی با پاسخ‌های راه حل تحلیلی دارند و روند نتایج یکسان است. این شکل همچنین تفاوت نمودارهای غلظت در برابر زمان ماده حل شده را در این دو حالت به خوبی نشان می‌دهد. نمودارهای غلظت در برابر زمان ماده حل شده برای حالتی که نگهداشت جزو مکانیزم‌های دخیل در انتقال ماده حل شده به سمت پایین دست در نظر گرفته می‌شود، نسبت به حالتی که نگهداشت موقت در نظر گرفته نمی‌شود، دارای نقطه اوج پایین‌تر و دنباله بلندتری هستند.

شرط مرزی بالا دست: تابع هویسايد

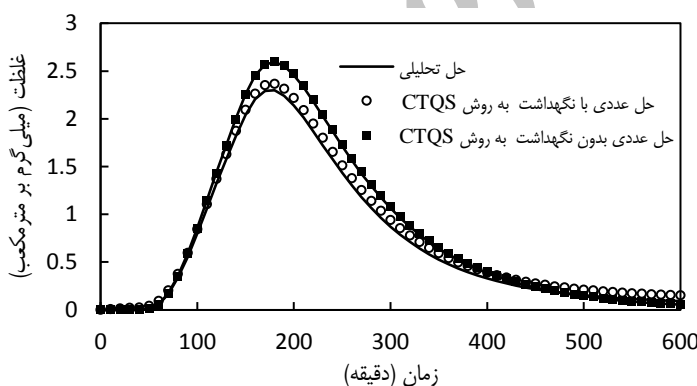
اين بار ماده حل شده با غلظت پنج ميلی گرم بر مترمکعب برای مدت زمان محدود ۱۰۰ دقیقه به نهر تزریق شد. مدت زمان کل شبیه‌سازی ۱۰ ساعت و گام زمانی محاسبات ۳۰ ثانیه و گام مکانی ۱ متر در نظر گرفته شده‌اند. مقایسه نتایج حاصل از اجرای مدل با پاسخ‌های راه حل تحلیلی در شکل (۹) نشان داده شده‌اند. جدول (۷) هم شاخص‌های خطابای شرط مرزی بالا دست نشان می‌دهد. با توجه به شکل (۹) و جدول (۷) درستی و صحبت نتایج حاصل از مدل ارائه شده تائید می‌شود. بعد از اطمینان از درستی جواب‌ها در حالت شرط مرزی بالا دست هویسايد با در نظر گرفتن نگهداشت موقت، مدل برای همین مثال با قرار دادن $\alpha = 0$ اجرا شد و نتایج حاصل از اجرای مدل با نتایج حاصل از حل تحلیلی معادله کلاسیک جابه‌جایی-پراکندگی مقایسه گردیدند.



شکل ۹- نتایج حاصل از صحبت سنجی مدل با استفاده از راه حل تحلیلی برای شرط مرزی بالادست هویسايد، در ۵۰، ۷۵ و ۱۰۰ متری

جدول ۷- شاخص‌های خطای برای شرط مرزی بالادست هویسايد

فاصله از بالادست			شاخص
۱۰۰ متر	۷۵ متر	۵۰ متر	محدود ضریب همبستگی (درصد)
۹۹/۹۶	۹۹/۹۷	۹۹/۹۸	جذر میانگین مریع خطأ (میلی گرم بر مترمکعب)
.۰/۰۵۸	.۰/۰۴۵	.۰/۰۳۴	میانگین خطای مطلق (میلی گرم بر مترمکعب)
.۰/۰۵۶	.۰/۰۴۳۸	.۰/۰۳۱	میانگین خطای نسبی (درصد)
۵	۴/۲	۳/۵	



شکل ۱۰- نتایج حاصل از صحبت سنجی مدل با استفاده از حل تحلیلی برای شرط مرزی بالادست هویسايد، در دو حالت با در نظر گرفتن و بدون در نظر گرفتن نگهداشت موقت، در فاصله ۱۰۰ متری از بالادست

حدود ۱۲/۵ لیتر بر ثانیه به صورت ماندگار و غلظت پس زمینه کلر برابر ۳/۷ میلی گرم بر لیتر ثبت گردیدند. پنج سایت نمونه برداری به ترتیب در فواصل ۳۸، ۴۳۳، ۲۸۱، ۰۰۵ و ۶۱۹ متری پایین دست محل تزریق در طول نهر مستقر شدند. بنکالا و والترز (۱۹۸۳) با استفاده از داده‌های آزمایش تزریق ماده ماده ردیاب کلراید به داخل یواس کریک کاربرد مدل نگهداشت موقت را برای داده‌های میدانی نشان دادند. در طی یک سری از شبیه‌سازی‌ها آن‌ها مقادیر A_1 ، A_2 ، α و D را برای هر بخش آن قدر تغییر دادند تا بهترین تطابق را بین غلظت‌های مشاهداتی و شبیه‌سازی شده به دست آورند. درواقع آن‌ها تکیه بر روش سعی و خطأ، آن پارامتری که قرار بود تخمین زده شود، به صورت دستی تغییر دادند تا تطابق قابل قبولی بین غلظت‌های ماده ردیاب

صحبت سنجی با استفاده از سری اول داده‌های واقعی: نهر یواس کریک

داده‌های مورداستفاده در این بخش از آزمایش تزریق ماده ردیاب در یواس کریک واقع در کالیفرنیا آمریکا استخراج شده‌اند. جزئیات انجام آزمایش اعم از نحوه نمونه برداری و آنالیز نتایج را می‌توان در آونزینو و همکاران^۱ (۱۹۸۴) یافت. یواس کریک نهری کوهستانی کوچک با شیب تندر ۰/۰۳ در بازه موردمطالعه است. تزریق ماده ردیاب (محلول غلیظ نمک طعام) در ساعت ۸ صبح سپتامبر ۱۹۷۲ آغاز و برای سه ساعت ادامه یافت. در زمان انجام آزمایش دبی در نهر یواس کریک نزدیک به جریان پایه فصلی، در

1- Avanzino et al.

براتی مقدم و همکاران: حل عددی معادله جابه‌جایی-پراکندگی با لحظه...

نظر گرفتن و بدون در نظر گرفتن نگهداشت موقعت در دو ایستگاه ۲۸۱ و ۴۳۳ متری نشان می‌دهد. با توجه به شکل (۱۱) و جدول (۱۰) مشخص می‌شود که مدل ارائه شده داده‌های مشاهده شده در آزمایش مذکور را با دقت مناسبی شبیه‌سازی می‌کند. شکل (۱۲) هم نشان می‌دهد که در حالتی که شبیه‌سازی با لحاظ نواحی نگهداشت موقعت انجام شده است، نتایج حاصل از شبیه‌سازی تطابق بیشتری با داده‌های واقعی در شکل عمومی نمودار غلظت در برابر زمان، غلظت اوج و زمان رسیدن به اوج دارد.

شبیه‌سازی شده و مشاهده شده برقرار گردد. جدول (۹) پارامترهای مورد استفاده در شبیه‌سازی آزمایش یواس کریک ازجمله طول هر بازه، ضریب پراکندگی، مساحت مقطع عرضی کanal اصلی نهر و ناحیه نگهداشت و ضریب تبادل را برای هر بازه بر مبنای کار این محققین نشان می‌دهد (بنکالا و الترز، ۱۹۸۳).

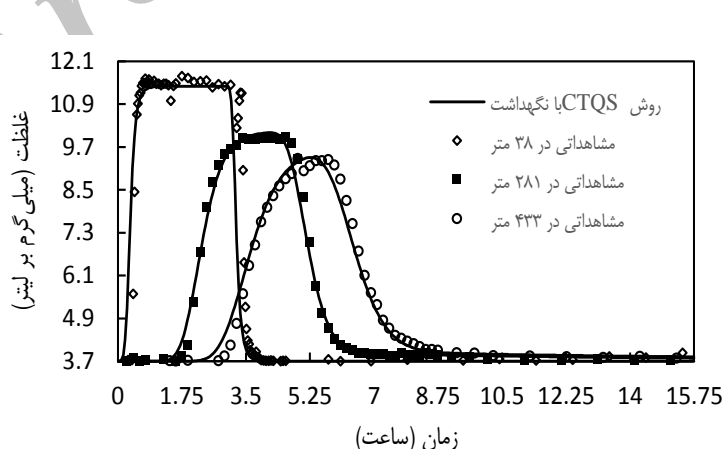
نتایج شبیه‌سازی آزمایش ماده ردیاب کلاید نهر یواس کریک با استفاده از مدل ارائه شده برای ایستگاه‌های ۳۸، ۲۸۱، ۴۳۳ متری پایین‌دست محل تزریق در شکل (۱۱) آورده شده‌اند. شکل (۱۲) هم نتایج اجرای مدل برای آزمایش یواس کریک را در دو حالت با در

جدول ۸- شاخص‌های خطابهای شرط مرزی بالادست هویسايد در دو حالت با در نظر گرفتن و بدون در نظر گرفتن نگهداشت موقعت

فاصله از بالادست ۱۰۰ متر		پارامتر
بدون نگهداشت	با نگهداشت	
۹۹/۹۹	۹۹/۹۶	مجذور ضریب همبستگی (درصد)
.۰/۰۰۹۴	.۰/۰۵۸	جذر میانگین مربع خطابهای (میلی گرم بر مترمکعب)
.۰/۰۰۷۵	.۰/۰۵۶	میانگین خطای مطلق (میلی گرم بر مترمکعب)
۱/۴۹	۵	میانگین خطای نسبی (درصد)

جدول ۹- پارامترهای شبیه‌سازی در آزمایش یواس کریک

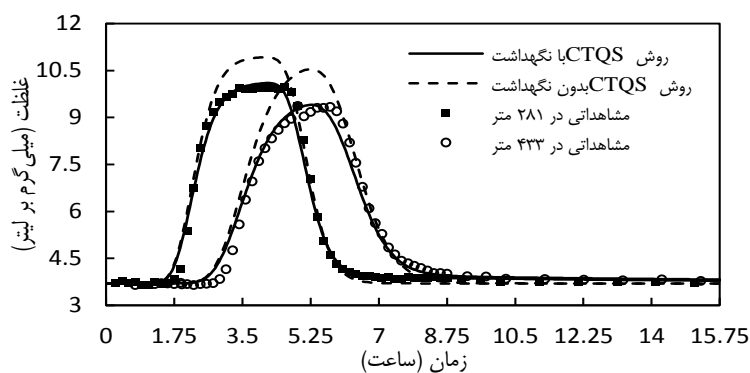
ضریب تبادل (α)	مساحت مقطع عرضی	ضریب پراکندگی	بازه (متر)
	کanal اصلی (A)	(مترمربع بر ثانیه)	
	ناحیه نگهداشت (A_s)		
.	.	.۰/۳	.۰-۳۸
.	.	.۰/۴۲	۳۸-۱۰۵
۳×10^{-5}	.۰/۳۶	.۰/۳۶	۱۰۵-۲۸۱
۱×10^{-5}	.۰/۴۱	.۰/۴۱	۲۸۱-۴۳۳
$۴/۵\times 10^{-5}$.۰/۵۶	.۰/۵۲	۴۳۳-۶۱۹



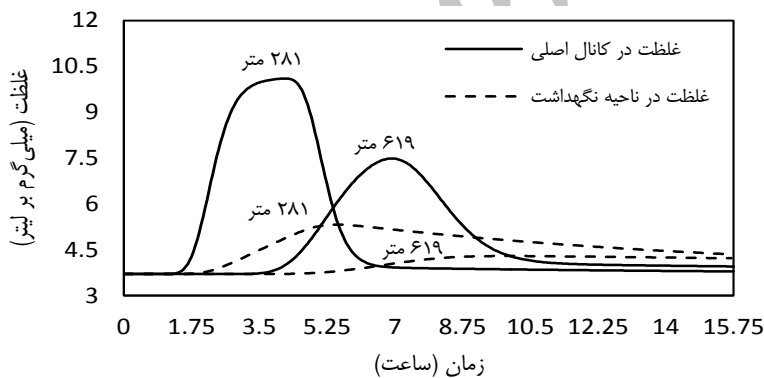
شکل ۱۱- غلظت مشاهده شده و شبیه‌سازی شده کلاید در ۳۸، ۲۸۱ و ۴۳۳ متری یواس کریک

جدول ۱۰- شاخص‌های خطای آزمایش یواس کریک

	شاخص	ایستگاه ۳۸ متر	ایستگاه ۲۸۱ متر	ایستگاه ۴۳۳ متر
۹۸/۲۵	مجذور ضریب همیستگی (درصد)	۹۹/۲۹	۹۶/۱	
۰/۳۶۶	جذر میانگین مریع خطای (میلی گرم بر مترمکعب)	۰/۲۸۳۸	۰/۷۲۷	
۰/۳۰۵	میانگین خطای مطلق (میلی گرم بر مترمکعب)	۰/۲۲۷	۰/۲۰۲	
۶/۶	میانگین خطای نسبی (درصد)	۴/۷	۳/۵	



شکل ۱۲- نتایج اجرای مدل برای آزمایش یواس کریک در دو حالت با در نظر گرفتن و بدون در نظر گرفتن نگهداشت موقت، در ۲۸۱ و ۴۳۳ متری

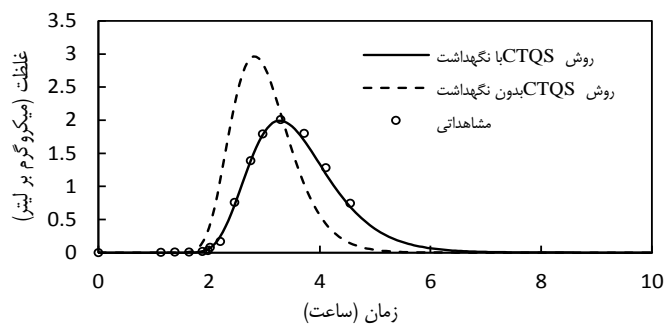


شکل ۱۳- مقایسه غلظت کلراید در ناحیه نگهداشت و کanal اصلی با در نظر گرفتن نگهداشت موقت در ۲۸۱ و ۶۱۹ متری یواس کریک

يعني اين بار اين نواحي در نقش يك منبع از ماده حل شده ظاهر می شوند. درنتیجه اين مکانیزمها نمودارهای غلظت در برابر زمان ماده حل شده در کanal اصلی دارای نقطه اوج کوتاه‌تر و دنباله طولانی‌تری نسبت به نمودارهای غلظت در برابر زمان پیش‌بینی شده با استفاده از معادله کلاسیک جابه‌جایی-پراکندگی خواهند بود (شکل ۱۲).

شکل (۱۳) هم غلظت کلراید را در نواحی نگهداشت در مقایسه با غلظت کلراید در کanal اصلی نشان می‌دهد. همان‌طور که در شکل هم مشاهده می‌شود، تداوم دنباله نمودار غلظت در برابر زمان در نواحی نگهداشت بیشتر از کanal اصلی است. این بدان معناست که مقادیر قابل توجهی از جرم ماده حل شده تا مدت‌ها پس از عبور ابر ماده حل شده در نواحی نگهداشت باقی می‌ماند. این شکل همچنین نشان می‌دهد که نواحی نگهداشت بخشی از جرم ماده حل شده را موقتاً از کanal اصلی خارج کرده و به صورت یک تخلیه^۱ موقتی عمل می‌کنند. بعد از عبور ابر ماده حل شده جرمی که موقتاً در این نواحی نگه داشته شده بود، به تدریج وارد کanal اصلی می‌شود،

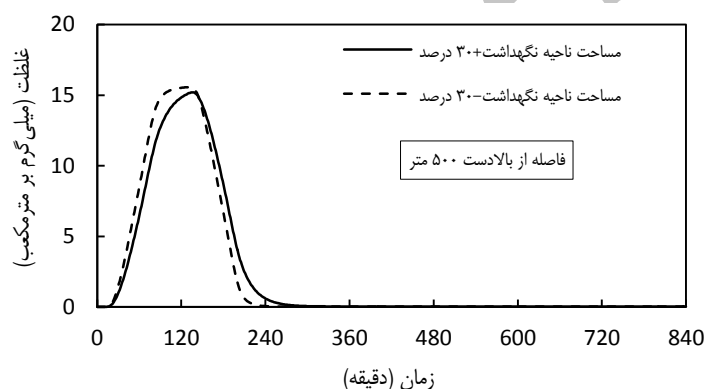
براتی مقدم و همکاران: حل عددی معادله جابه‌جایی-پراکندگی بالحظا...



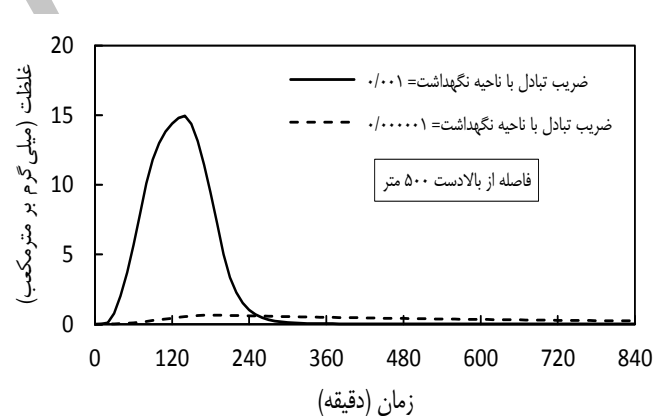
شکل ۱۴- نتیجه اجرای مدل برای آزمایش رودخانه آتاباسکا در ۱۱/۸۵ کیلومتری بالادست محل تزریق

جدول ۱۱- شاخص‌های خطا در آزمایش رودخانه آتاباسکا با در نظر گرفتن نگهداشت موقت و بدون در نظر گرفتن نگهداشت موقت

شاخص	با نگهداشت	بدون نگهداشت
محدود ضریب همبستگی (درصد)	۹۷/۴	۹۱/۵۸
میانگین خطای مطلق (درصد)	۰/۰۶	۰/۱۲۷



شکل ۱۵- مقایسه غلظت ناحیه نگهداشت در دو حد بالا و پایین بازه تغییرات مساحت ناحیه نگهداشت



شکل ۱۶- مقایسه غلظت ناحیه نگهداشت در دو حد بالا و پایین بازه تغییرات ضریب تبادل با ناحیه نگهداشت

نظر گرفته شد. شکل (۱۴) نتیجه اجرای مدل برای آزمایش آتاباسکا را در دو حالت با در نظر گرفتن و بدون در نظر گرفتن نگهداشت موقت در فاصله ۱۱/۸۵ کیلومتری از بالادست نشان می‌دهد. ساخته‌های خطرا برای این ایستگاه نشان می‌دهد.

با توجه به شکل (۱۴) می‌توان گفت که نمودار غلظت در برابر زمان حاصل از اجرای مدل در حالت در نظر گرفتن نگهداشت موقت تطابق خوبی با نمودار مشاهده شده غلظت در برابر زمان ماده ردیاب در رودخانه مذکور دارد، اما نمودار غلظت در برابر زمان ماده ردیاب شبیه‌سازی شده بدون در نظر گرفتن نگهداشت موقت این طور نیست. بالا بودن شاخص میانگین خطای نسبی برای این حالت دلالت بر عملکرد ضعیف معادله کلاسیک جابه‌جایی-پراکنده‌گی در شبیه‌سازی انتقال ماده حل شده در رودخانه‌های طبیعی دارد. لذا به منظور شبیه‌سازی دقیق‌تر رفتار انتقال ماده حل شده در رودخانه‌های طبیعی ضروری است تا تأثیر نگهداشت موقت بر انتقال به سمت پایین دست ماده حل شده در نظر گرفته شود.

بررسی حساسیت مدل نسبت به تغییرات پارامترهای ورودی
دو پارامتر مهم ورودی به مدل که توصیف کننده مکانیزم نگهداشت موقت هستند، شامل مساحت مقطع عرضی ناحیه نگهداشت و ضریب تبادل با ناحیه نگهداشت می‌باشند. نتایج حاصل از مدل تا حد زیادی به تغییرات این دو پارامتر بستگی دارد، لذا بررسی حساسیت مدل ارائه شده نسبت به تغییرات آن‌ها دارای اهمیت زیادی است. بدین منظور یک مثال فرضی طراحی گردید و ابتدا شاخص‌های سنجش خطای سنجش خطای به ازای حالت پایه در بررسی حساسیت برای این مثال تعیین گردیدند، سپس پارامتری که بررسی حساسیت مدل نسبت به تغییرات آن مدنظر بود، در دامنه قابل قبول تغییر داده شد و با ثابت نگهداشت سایر پارامترها، مدل در این حالت اجرا شده و شاخص‌های سنجش خطای مجدد تعیین گردیدند. لذا با ارائه شاخص‌های سنجش خطای به ازای تغییرات پارامتر موردنظر در بررسی حساسیت در قالب یک جدول، حساسیت مدل نسبت به تغییرات پارامتر موردنظر قابل تشخیص خواهد بود. لازم به ذکر است که با توجه به عدم قطبیت بالا در تخمین ضریب تبادل با ناحیه نگهداشت دامنه وسیعی از تغییرات این پارامتر در نظر گرفته شده است.

با توجه به شاخص‌های خطای ارائه شده در جدول (۱۲) مشخص است که با افزایش مساحت مقطع عرضی ناحیه نگهداشت دقت مدل کاهش پیدا می‌کند، دلیل این امر هم این است که با افزایش مساحت این ناحیه مدت زمان ماند در ناحیه نگهداشت کمی افزایش می‌یابد و آزادسازی جرم با کمی تأخیر همراه خواهد بود، که این مسئله روی دنباله نمودار غلظت در برابر زمان تأثیر می‌گذارد و باعث طولانی شدن دنباله نمودار می‌شود، البته میزان این تأخیر زمانی خیلی قابل توجه نیست، لذا می‌توان گفت که حساسیت مدل نسبت به تغییرات مساحت مقطع عرضی ناحیه نگهداشت کم است (شکل (۱۵)).

صححت‌سنجی با استفاده از سری دوم داده‌های واقعی:

رودخانه آتاباسکا

پوتز و اسمیت^۱ (۲۰۰۰) مشخصات دو آزمون میدانی تزریق ماده ردیاب را در بازه‌ای به طول تقریبی ۲۶ کیلومتر از رودخانه آتاباسکا^۲ در نزدیکی هیتون، آلبرتا، کانادا توصیف کردند. در آزمایش اول، ماده ردیاب رودامین بیست درصد به مدت ۵/۵۲ ساعت با دبی و غلظت ثابت به رودخانه تزریق و در آزمایش دوم ۱۰ لیتر از ماده ردیاب رودامین بیست درصد به صورت ناگهانی به داخل نهر ریخته شد و نمونه‌ها در چهار مقطع عرضی ۱۱/۸۵، ۴/۷۲۵، ۱۶/۷۷۵، ۲۰/۶۲۵ کیلومتری پایین دست محل تزریق برداشت شدند.

در این تحقیق از داده‌های آزمون تزریق ناگهانی ماده ردیاب برای صححت‌سنجی مدل ارائه شده، استفاده گردیده است. طول بازه ۴/۷۲۵ کیلومتری تا ۱۳/۰۲۵ کیلومتری رودخانه مذکور می‌باشد. پارامترهای هندسی بین دو مقطع عرضی، یعنی در جاهایی که اطلاعات مقطع وجود نداشت، به ازای یک رقوم سطح آب معین با استفاده از مین‌بابی خطی بین دو مقطع مجاور محاسبه گردید.

نکته اساسی که در انتخاب این بازه از رودخانه مدنظر قرار گرفت، این بود که بازه موردنظر باید ویژگی‌های هندسی معمول رودخانه‌های دارای نواحی نگهداشت مثل توالی نقاط عمیق و کم عمق و تغییرات عرض ناگهانی و فراوان را دارا می‌بود، مدت زمان کل شبیه‌سازی ۱۰ ساعت، گام مکانی ۲۵ متر، گام زمانی ۱ دقیقه، مساحت ناحیه نگهداشت برای بازه ۵/۵ کیلومتری تا ۶/۲۵ کیلومتری، ۴۰ مترمربع و ضریب تبادل با ناحیه نگهداشت 6×10^{-5} در نظر گرفته شدند. پارامترهای مربوط به نگهداشت موقت از طریق سعی و خطای تطبیق چشمی داده‌های شبیه‌سازی با داده‌های آزمایشگاهی به دست آمدند. با توجه به پارامترهای تخمین زده شده، معيار دمکوهلر برابر ۰/۳۸ به دست آمد که در بازه قابل قبول ۰/۱ تا ۱۰ قرار دارد، لذا می‌توان گفت که در بازه مورداستفاده در شبیه‌سازی از رودخانه مذکور نگهداشت موقت جزو مکانیزم‌های دخیل در انتقال ماده ردیاب به سمت پایین دست محسوب می‌گردد.

شرایط مرزی مدل جریان بر اساس داده‌های ایستگاه اندازه‌گیری محیط‌زیست کانادا، به صورت دی‌ثابت ۳۳۴ مترمکعب در مرز بالادست و رقوم سطح آب ثابت با زمان ۹۵۲/۶ متر در پایین دست در نظر گرفته شدند. با توجه به این که نمونه‌های غلظت فقط در چهار مقطع عرضی پایین دست محل تزریق برداشت شده‌اند، نمودار غلظت در برابر زمان برداشت شده در ۴/۷۲۵ کیلومتری به عنوان شرط مرزی بالادست مدل انتقال و نمودار غلظت در برابر زمان برداشت شده در ۱۱/۸۵ کیلومتری برای مقایسه نتایج حاصل از اجرای مدل با داده‌های واقعی مورداستفاده قرار گرفت. شرط مرزی پایین دست مدل انتقال هم به صورت گرادیان مکانی صفر غلظت در

1-Putz and Smith

2- Athabasca

3- Hinton, Alberta

براتی مقدم و همکاران: حل عددی معادله جابه‌جایی-پراکندگی با لحاظ...

جدول ۱۲- بررسی حساسیت مدل نسبت به تغییرات مساحت مقطع عرضی ناحیه نگهداشت

مساحت مقطع عرضی ناحیه نگهداشت (متر)								شاخص
$30 + A_s$	$20 + A_s$	$10 + A_s$	A_s	$10 - A_s$	$20 - A_s$	$30 - A_s$		
۹۹/۳	۹۹/۳۵	۹۹/۳۹	۹۹/۴۳	۹۹/۴۶	۹۹/۴۹	۹۹/۵۳	مجذور ضریب همبستگی (درصد)	
.۰/۴۱۶	.۰/۴	.۰/۳۹	.۰/۳۷	.۰/۳۶۵	.۰/۳۵۴	.۰/۳۴	جذر میانگین مریع خطأ (میلی گرم بر مترمکعب)	
.۰/۱۹۳	.۰/۱۸۸	.۰/۱۸۳	.۰/۱۷۹	.۰/۱۷۶	.۰/۱۷۳	.۰/۱۷	میانگین خطای مطلق (میلی گرم بر مترمکعب)	
۶/۳۷	۶/۳۶۵	۶/۳۶۳	۶/۳۶	۶/۲۳	۶/۲	۶/۱۶	میانگین خطای نسبی (درصد)	

جدول ۱۳- بررسی حساسیت مدل نسبت به تغییرات ضریب تبادل با ناحیه نگهداشت

ضریب تبادل با ناحیه نگهداشت (s^{-1})							شاخص
4α	3α	2α	α	$1/2\alpha$	$1/3\alpha$	$1/4\alpha$	
۹۹/۵۲	۹۹/۵	۹۹/۴۷	۹۹/۴۳	۹۹/۳۶	۹۹/۳۲	۹۹/۳	مجذور ضریب همبستگی (درصد)
.۰/۶۲	.۰/۵۱	.۰/۴۱۵	.۰/۳۷	.۰/۴۱	.۰/۴۳	.۰/۴۵	جذر میانگین مریع خطأ (میلی گرم بر مترمکعب)
.۰/۳۴۵	.۰/۲۹	.۰/۲۳	.۰/۱۷۹	.۰/۱۸۷	.۰/۱۹۶	.۰/۲۰۲	میانگین خطای مطلق (میلی گرم بر مترمکعب)
۷/۷۳	۷/۵۹	۷/۵۴	۶/۳۶	۶/۷۴	۷	۷/۱۵	میانگین خطای نسبی (درصد)

ارائه گردید تا نوافص موجود در مدل‌های رایج موجود در زمینه شبیه‌سازی انتقال آلاینده را مرتفع سازد. برای نیل به این هدف، از روش کوئیک به دلیل پایداری و خطاهای تقریب کم، در گسسته‌سازی مکانی معادله جابه‌جاوی - پراکندگی با لحاظ نگهداشت موقت، استفاده شد. باید به این نکته هم اشاره کرد که مدل ارائه شده در این تحقیق یک مدل جامع است که قابلیت شبیه‌سازی مسئله انتقال ماده حل شده را در هر دو حالت با در نظر گرفتن و بدون در نظر گرفتن ناحیه نگهداشت دارد. به این صورت که اگر ضربت تبادل با ناحیه نگهداشت (آ) در مدل برابر صفر در نظر گرفته شود، معادله به کاربرده شده در ساختار مدل، به معادله کلاسیک جابه‌جاوی - پراکندگی تبدیل شده و تأثیر نواحی نگهداشت موقت در نظر گرفته نمی‌شود. همچنین با ثابت در نظر گرفتن شرایط مرزی مربوط به مدل جریان در برابر زمان، می‌توان مدل را برای حالت جریان ماندگار هم اجرا کرد. مدل ارائه شده با استفاده از حل‌های تحلیلی ارائه شده برای معادله جابه‌جاوی - پراکندگی با لحاظ نگهداشت موقت برای دو حالت شرط مرزی بالادست پیوسته و شرط مرزی بالادست تابع هویسايد و دو سری داده واقعی مورد صحبت‌سنگی قرار گرفت.

نتایج حاصل صحبت‌سنگی نشان داد که مدل قادر به شبیه‌سازی انتقال آلاینده با لحاظ نواحی نگهداشت موقت با دقت خوب و قابل قبولی است. همچنین به منظور نشان دادن برتری الگوی عددی مورداً استفاده در مدل ارائه شده، علاوه بر مدل اصلی، دو مدل دیگر که با استفاده از الگوی عددی مرکزی در زمان و مرکزی در مکان (CTCS) و الگوی پسرو در زمان و مرکزی در مکان (BTCS) تدوین شده بودند، برای حالت جابه‌جاوی خالص اجرا و نتایج حاصل از سه مدل با هم مقایسه شدند. نتایج نشان داد که الگوی عددی مورداً استفاده در مدل (مرکزی در زمان-کوئیک در مکان) در مواردی که جابه‌جاوی فرآیند غالب انتقال است، نسبت به دو الگوی عددی مرکزی در زمان - مرکزی در مکان و الگوی پسرو در زمان - مرکزی در مکان، دارای نوسان عددی کمتر و پایداری بالاتری است.

بررسی حساسیت مدل نسبت به تغییرات دو پارامتر ورودی مساحت مقطع عرضی ناحیه نگهداشت و ضربت تبادل با ناحیه نگهداشت هم نشان داد مدل نسبت به تغییرات مساحت مقطع عرضی ناحیه نگهداشت حساس نیست، اما حساسیت نسبتاً بالایی نسبت به تغییرات ضربت تبادل با ناحیه نگهداشت دارد، لذا انتخاب این پارامتر باید با دقت بیشتری صورت گیرد.

درمجموع با توجه به نتایج بدست آمده می‌توان گفت که مدل ارائه شده در این تحقیق یک مدل کاربردی است و بسیاری از محدودیتها و معایب ذکر شده برای مدل‌های رایج فعلی را ندارد، لذا می‌تواند در بسیاری از مطالعات انتقال ماده حل شده در نهرها و رودخانه‌های طبیعی به ویژه رودخانه‌های کوهستانی، جایگزین مدل‌های فعلی شود.

با توجه به جدول (۱۳) هم می‌توان گفت که با افزایش و کاهش ضربت تبادل نسبت به مقدار آن در حالت پایه دقت مدل نگهداشت ناچیه نگهداشت به طور قابل ملاحظه‌ای افزایش می‌باید (شکل ۱۶) و به تبع آن نقطه اوج نمودار غلظت در برابر زمان پایین افتاده و دنباله نمودار هم طولانی‌تر می‌شود و با کاهش این ضربت عکس این مورد اتفاق می‌افتد، یعنی نمودار به حالت نمودار حاصل از معادله کلاسیک (بدون در نظر گرفتن نگهداشت) نزدیک‌تر می‌شود.

نتیجه‌گیری

محققین بسیاری با تکیه بر نتایج حاصل از آزمایش‌های میدانی ماده ردیاب در نهرها و رودخانه‌های طبیعی به این نکته اشاره کرده‌اند که معادله کلاسیک جابه‌جاوی - پراکندگی به خوبی قادر به شبیه‌سازی نمودارهای غلظت در برابر زمان مشاهده شده در واقعیت نیست، لذا در نظر گرفتن عبارت‌هایی برای لحاظ تأثیر نواحی نگهداشت موقت منجر به شبیه‌سازی دقیق‌تر پدیده انتقال ماده حل شده در نهرها و رودخانه‌های طبیعی می‌شود.

از طرفی مروری بر مقالات تدوین شده در حوزه مدل‌سازی انتقال ماده حل شده در نهرها و رودخانه‌های طبیعی نشان می‌دهد که با وجود پیشرفت چشمگیری که صورت گرفته است، هنوز مشکلات عدیده‌ای وجود دارد که نیازمند تحقیقات بیشتری است، از آن جمله این که در گذشته اغلب مطالعات بر روی انتقال ماده حل شده بر رزیم جریان ماندگار و مقاطع منظم که به صورت درنظر گرفتن سرعت متوسط ثابت در مدل نمود پیدا می‌کند، متمرکز شده‌اند. در حالی که وجود شرایط جریان غیرماندگار و مقاطع نامنظم در نهرها و رودخانه‌های طبیعی امری معمول است؛ بنابراین نیاز به مدل‌هایی که قابلیت شبیه‌سازی انتقال ماده حل شده تحت رزیم جریان غیرماندگار و مقاطع نامنظم را داشته باشند، احساس می‌شود. همچنین در گذشته توجه کافی به جنبه‌های حل عددی معادله‌های انتقال و نگهداشت موقت نشده است، بنابراین لزوم استفاده از الگوریتم‌های دقیق‌تر و کارآمدتر برای حل این معادله‌ها ضروری به نظر می‌رسد.

تاکنون مدل‌های عددی و نرم‌افزارهای تجاری بسیاری برای حل مسئله انتقال ماده حل شده در رودخانه‌ها ارائه شده‌اند که اکثر آن‌ها از معادله کلاسیک جابه‌جاوی - پراکندگی برای برخورد با این مسئله استفاده می‌کنند که از جمله آن‌ها می‌توان به نرم‌افزار مایک ۱۱ اشاره کرد. در حال حاضر تنها مدل عددی که برای حل معادله جابه‌جاوی - پراکندگی با لحاظ تأثیر نواحی نگهداشت موقت در دسترس محققین قرار دارد مدل اوتیس (رانکل، ۱۹۹۸) است که دارای معایب بسیاری است، از آن جمله می‌توان به نداشتن برنامه روندیابی جریان، استفاده از روش مشتق‌گیری مرکزی برای گسسته‌سازی مکانی معادله‌ها و محدودیت در تعداد پارامترهای ورودی اشاره کرد.

در این مقاله مدلی جامع با تلفیق الگوهای عددی دقیق‌تر برای حل عددی معادله‌های جابه‌جاوی - پراکندگی با لحاظ نگهداشت موقت در حالت وجود جریان غیرماندگار در رودخانه‌ها با مقاطع نامنظم

منابع

- 1- Avanzino, R. J., Zellweger, G., Kennedy, V., Zand, S. and K. E. Bencala, 1984. Results of a solute transport experiment at Uvas Creek, September 1972. USGS Open-File Report 84-236, 82 p.
- 2- Beltaos, S. and T. Day, 1978. A field study of longitudinal dispersion. Canadian Journal of Civil Engineering, 5: 572-585.
- 3- Bencala, K. E. and R. A. Walters, 1983. Simulation of solute transport in a mountain pool-and-riffle stream:a transient storage model. Water Resources Research, 19: 718-724.
- 4- Bertolotto, D., Manera, A., Macián-Juan, R. and R. Chawla, 2011. Improvement of the one-dimensional dissolved-solute convection equation using the QUICKEST-ULTIMATE algorithm. Nuclear Engineering and Design, 241: 245-256.
- 5- Chapra, S. C. and R. L. Runkel, 1999. Modeling impact of storage zones on stream dissolved oxygen. Journal of Environmental Engineering, 125: 415-419.
- 6- Davis, P. and T. Atkinson, 2000. Longitudinal dispersion in natural channels: 3. An aggregated dead zone model applied to the River Severn, UK. Hydrology And Earth System Sciences, 4: 373-381.
- 7- Day, T. J. 1975. Longitudinal dispersion in natural channels. Water Resources Research, 11: 909-918.
- 8- Fabian, M. W., Endreny, T. A., Bottacin-Bosolin, A. and L. K. Lautz, 2011. Seasonal variation in cascade-driven hyporheic exchange, northern Honduras. Hydrological Processes, 25: 1630-1646.
- 9- Fernald, A. G., Wigington, P. and D. H. Landers, 2001. Transient storage and hyporheic flow along the Willamette River, Oregon: Field measurements and model estimates. Water Resources Research, 37(6):1681-94.
- 10-Hart, D. R. 1995. Parameter estimation and stochastic interpretation of the transient storage model for solute transport in streams. Water Resources Research, 31: 323-328.
- 11- Harvey, J. W. and B. Wagner, 2000. Quantifying hydrologic interactions between streams and their subsurface hyporheic zones. Streams and Ground Waters, 3-44.
- 12-Jin, L., Siegel, D. I., Lautz, L. K. and M. H. Otz, 2009. Transient storage and downstream solute transport in nested stream reaches affected by beaver dams. Hydrological Processes, 23: 2438-2449.
- 13-Kazezylmaz-Alhan, C. M. 2008. Analytical solutions for contaminant transport in streams. Journal of Hydrology, 348: 524-534.
- 14-Kelleher, C., Wagener, T., McGlynn, B., Ward, A., Gooseff, M. and R. Payn, 2013. Identifiability of transient storage model parameters along a mountain stream. Water Resources Research, 49: 5290-5306.
- 15-Lautz, L. K. and Siegel, D. I. 2007. The effect of transient storage on nitrate uptake lengths in streams: An inter-site comparison. Hydrological Processes, 21(26):3533-3548.
- 16-Lautz, L. K., Siegel, D. I. and R. L. Bauer, 2006. Impact of debris dams on hyporheic interaction along a semi-arid stream. Hydrological Processes, 20: 183-196.
- 17-Leonard, B. P. 1979. A stable and accurate convective modelling procedure based on quadratic upstream interpolation. Computer Methods In Applied Mechanics and Engineering, 19: 59-98.
- 18-Lin, Y. C. and M. A. Medina JR, 2003. Incorporating transient storage in conjunctive stream-aquifer modeling. Advances in Water Resources, 26: 1001-1019.
- 19-Marion A. and M. Zaramella, 2005. A residence time model for stream-subsurface exchange of contaminants. Acta Geophysica Polonica, 53(4): 527-538.

- 20-Neumann, L., Šimunek, J. and F. Cook, 2011. Implementation of quadratic upstream interpolation schemes for solute transport into HYDRUS-1D. Environmental Modelling and Software, 26: 1298-1308.
- 21-Nordin, C. F. and B. M. Troutman, 1980. Longitudinal dispersion in rivers: The persistence of skewness in observed data. Water Resources Research, 16: 123-128.
- 22-O'connor, B. L., Hondzo, M .and J. W. Harvey, 2009. Predictive modeling of transient storage and nutrient uptake: Implications for stream restoration. Journal of Hydraulic Engineering,136: 1018-1032.
- 23-Putz, G. and D. W. Smith, 2000. Two-dimensional modelling of effluent mixing in the Athabasca River downstream of Weldwood of Canada Ltd., Hinton, Alberta. University of Alberta,Project report, 2000-7, 51p.
- 24-Ramaswami, A., Milford, J. B. and M. J. Small, 2005. Integrated environmental modeling: pollutant transport, fate, and risk in the environment, John Wiley, Hoboken, New Jersey, 688 p.
- 25-Runkel, R .L. 1998. One-Dimensional Transport with Inflow and Storage (OTIS): A Solute Transport Model for Streams and Rivers. Water-Resources Investigations Report 98-4018, 80p.
- 26-Runkel, R. L. 2000. Using OTIS to model solute transport in streams and rivers. US Department of the Interior, US Geological Survey.
- 27-Runkel, R. L. and K. E. Bencala, 1995. Transport of reacting solutes in rivers and streams. Environmental Hydrology, Springer, 482 p.
- 28-Scott, D. T., Gooseff, M. N., Bencala, K. E. and R. L. Runkel, 2003. Automated calibration of a stream solute transport model: implications for interpretation of biogeochemical parameters. Journal of The North American Benthological Society, 22: 492-510.
- 29-Seo, I. W. and T. S. Cheong, 2001. Moment-based calculation of parameters for the storage zone model for river dispersion. Journal of Hydraulic Engineering, 127: 453-465.
- 30-Seo, I. W. and W. H. C. Maxwell, 1992. Modeling low-flow mixing through pools and riffles. Journal of Hydraulic Engineering, 118: 1406-1423.
- 31-Singh, S. K. 2003. Treatment of stagnant zones in riverine advection-dispersion. Journal of Hydraulic Engineering, 129: 470-473.
- 32-Szeftel, P., Moore, R. and M. Weller, 2011. Influence of distributed flow losses and gains on the estimation of transient storage parameters from stream tracer experiments. Journal of Hydrology, 396: 277-291.
- 33-Szymkiewicz, R. 2010. Numerical modeling in open channel hydraulics. Springer, 370 p.
- 34-Taylor, G. 1954. The dispersion of matter in turbulent flow through a pipe. Proceedings of the Royal Society of London, Series A, Mathematical and Physical Sciences, 223: 446-468.
- 35-Wagner, B. J. and J. W. Harvey, 1997. Experimental design for estimating parameters of rate-limited mass transfer: Analysis of stream tracer studies. Water Resources Research, 33: 1731-1741.
- 36-Ward, A. S., Payn, R. A., Gooseff, M. N., McGlynn, B. L., Bencala, K. E., Kelleher, C. A., Wondzell, S. M. and T. Wagener, 2013. Variations in surface water-ground water interactions along a headwater mountain stream: Comparisons between transient storage and water balance analyses. Water Resources Research, 49: 3359-3374.
- 37-Zhang, Y. and M. M. Aral, 2004. Solute transport in open-channel networks in unsteady flow regime. Environmental Fluid Mechanics, 4: 225-247.